

کنترل غیرخطی تحمل خطای پرواز هواپیما مسافربری در حضور خطا و شکست عملگرهای کنترلی

محمد نوابی^{۱*}, پرستو روزگرد^۲

۱- استادیار، مهندسی هواپیما، دانشگاه شهید بهشتی، تهران

۲- دانشجوی کارشناسی ارشد، مهندسی هواپیما، دانشگاه شهید بهشتی، تهران

*تهران - صندوق پستی ۱۹۸۳۹۶۱۱۳

چکیده

آسیب‌دیدگی عملگرهای کنترلی از عده دلایل از دست رفتن کنترل هواپیما حین پرواز است. دینامیک هواپیما به شدت تحت تأثیر خطأ و شکست اجزای سیستم کنترل پرواز قرار گرفته و در صورت عدم صدور فرمان کنترل اصلاحی توسط کنترلر تحمل خطأ، پیامدهای نامطلوبی همچون ناپایداری و کاهش عملکرد سیستم را در پی داشته و سوانح هواپیمای مرگباری به وقوع خواهد پیوست. این مقاله شامل ارائه یک تکنیک کنترلی تحمل خطأ مبتنی بر روش کنترل بهینه غیرخطی با استفاده از معادله ریکاتی وابسته به حالت است. ویژگی‌های روش کنترل بهینه غیرخطی، امکان مدل‌سازی جدید هواپیما و پیکربندی مجدد سیستم کنترل را در زمان وقوع خرابی ایجاد کرده و امکان نجات هواپیما را افزایش می‌دهد. دو سناریوی خطأ و شکست شامل کاهش کارایی الیتور و از مهار خارج شدن ایلون ریکاری بزرگ مورد بررسی قرار گرفته و عملکرد روش بهینه غیرخطی در مقایسه با کنترل بهینه خطی ارزیابی می‌شود. برای نخستین بار است که این تکنیک به عنوان روش کنترلی تحمل خطأ پرواز در سطح تحقیقات داخلی مورد استفاده قرار می‌گیرد. نتایج شبیه‌سازی‌ها، اثربخشی رویکرد غیرخطی پیشنهادی را در بازیابی پایداری و حفظ مسیر پروازی به اثبات می‌رساند.

اطلاعات مقاله

مقاله پژوهشی کامل
دریافت: ۰۵ مرداد ۱۳۹۴
پذیرش: ۲۷ مهر ۱۳۹۴
ارائه در سایت: ۰۹ آذر ۱۳۹۴
کلید واژگان:

- کنترل تحمل خطأ
- کنترل بهینه غیرخطی
- معادله ریکاتی وابسته به حالت
- خطأ عملگر
- شکست عملگر

Nonlinear fault-tolerant flight control for a transport aircraft in presence of actuators fault and failure

Mohammad Navabi^{*}, Parastoo Roozgard

Department of New Technologies Engineering , Shahid Beheshti University, Tehran, Iran
* P.O.B. 198396113 Tehran, Iran, m_navabi@sbu.ac.ir

ARTICLE INFORMATION

Original Research Paper
Received 27 July 2015
Accepted 19 October 2015
Available Online 30 November 2015

Keywords:
Fault-tolerant control
Nonlinear optimal control
State-Dependent Riccati equation
Actuator fault
Actuator failure

ABSTRACT

Aircraft actuator damage is one of the main causes of the loss of control during the flight. Aircraft dynamic is severely affected by the faults and failures and if the corrective command signals are not supplied immediately, damages will lead to catastrophic consequences such as instability and system performance degradation and deadly plane crashes will occur. This paper presents a fault-tolerant control technique based on nonlinear optimal control method using State-Dependent Riccati Equation. The features of the State-Dependent Riccati Equation method make the new modeling and reconfiguration of control system possible in presence of damages and increase the chances of rescue aircraft. Two fault and failure scenarios including loss of elevator effectiveness and aileron hard-over for a large transport aircraft are considered and the performance of SDRE method is evaluated in comparison with its linear counterpart (LQR). For the first time this technique as a fault-tolerant flight control method is used in the internal investigations. Simulation results demonstrate the effectiveness of the proposed nonlinear approach in restoring stability and maintaining the flight path.

بر اساس گزارش سازمان ایمنی هوانوردی انگلستان^۲ که در سال ۲۰۱۳ از دست رفتن کنترل هواپیما در حین پرواز، شایع ترین عامل انتشار یافت، از دست رفتن کنترل هواپیما در حین پرواز، شایع ترین عامل سوانح هواپیماهای جت تجاری و توربوپراپ بوده است [۲]. به دلیل اهمیت این موضوع، آژانس بین‌المللی ایمنی هوانوردی (ICAO^۳) هر ساله همایشی تحت عنوان "از دست رفتن کنترل پرواز" با حضور متخصصانی از سرتاسر دنیا برگزار کرده و به بررسی سوانح هواپیمای با منشأ فقدان کنترل پرواز می‌پردازد.

۱- مقدمه از دست رفتن کنترل هواپیما حین پرواز^۱ یکی از مهم‌ترین عوامل وقوع سوانح هواپیمایی است. شرکت بوئینگ در سال ۲۰۱۳ گزارشی را در مورد سوانح هواپیمایی هواپیماهای جت تجاری با وزن بالای ۳۰ تن طی سال‌های ۱۹۵۹ تا ۲۰۱۲ منتشر کرد. طبق این گزارش، در طول سال‌های ۱۹۹۳ تا ۲۰۱۲، ۱۸ سانحه به دلیل از دست رفتن کنترل حین پرواز رخ داده که تعداد ۱۶۴۸ مرگ و میر به همراه داشته است [۱].

2- United Kingdom Civil Aviation
3- International Civil Aviation Organization

1- Loss of Control In flight (LOC-I)

Please cite this article using:

M. Navabi, P. Roozgard, Nonlinear fault-tolerant flight control for a transport aircraft in presence of actuators fault and failure, *Modares Mechanical Engineering*, Vol. 15, No. 12, pp. 209-220, 2015 (in Persian)

برای ارجاع به این مقاله از عبارت ذیل استفاده نمایید:

[DOR: 20.1001.1.10275940.1394.15.12.35.3]

تحمل خطای غیرفعال و فعال در طراحی سیستم‌های کنترل تحمل خطای پرواز مورد مطالعه قرار گرفته است؛ اما تعداد کمی از این روش‌ها قادرند علاوه بر پایدارسازی سریع هوایی پس از بروز خرابی، فرود بی‌خطر آن را نیز تضمین کنند. به عنوان مثال در مرجع [7]، روش کنترل مدل‌لغزشی⁴ برای تعقیب فرمان ورودی خلبان بر روی جت نظامی مورد استفاده قرار گرفته است. در مرجع [8]، تئوری کنترل متغیر مدل چندگانه⁵ که هر یک از آسیب‌ها و کنترل مربوط به آن‌ها را به طور جداگانه مدل‌سازی می‌کند، به کار گرفته شده است. در مرجع [9]، رویکرد کنترل تطبیقی مدل مرجع⁶ برای آسیب‌دیدگی‌های عملگر اعمال شده است. مشکل اساسی اغلب روش‌های یاد شده، فقدان ویژگی‌هایی مانند انعطاف‌پذیری و یا تطبیق‌پذیری است که این موضوع، فرآیند طراحی سیستم کنترل را به ویژه هنگام انتقال از یک مدل به مدل دیگر، با چالش روبرو می‌کند.

در این مقاله، یک طرح کنترل تحمل خطای فعال با استفاده از تکنیک معادله ریکاتی وابسته به حالت⁷ به منظور جبران خرابی عملگرهای کنترلی هوایی ارائه می‌شود که قادر است با تغییر ساختار کنترل به صورت فعال، به خطای نامعین عملگر واکنش نشان داده و بدین ترتیب، پایداری و کیفیت عملکرد سیستم آسیب‌دیده را حفظ کند.

2- استخراج معادلات پرواز

هوایی مورد بررسی در این تحقیق، هوایی مسافربری بوئینگ 747-100 معروف به جامبو جت می‌باشد (شکل 2). این هوایی عظیم‌الجثه‌ی قاره‌پیما با چهار موتور جت توربوفن، دارای مجموعه‌ای از ویژگی‌های پیشرفته است که آن را به نمونه‌ی کاملی از یک هوایی تجاری مدرن مبدل کرده است.

با استفاده از قانون دوم نیوتون، دوازده معادله‌ی غیرخطی مرتبه اول به عنوان معادلات پرواز شش درجه آزادی هوایی در دستگاه مختصات بدنی به صورت روابط (1) تا (6) استخراج می‌شود [11].

معادلات نیرو:

$$\dot{u} = rv - qw - g \sin \theta + \frac{1}{m} (\bar{q} s C_{xb} + F_{Tx}) \quad (1)$$

$$\dot{v} = -ru + pw + g \sin \phi \cos \theta + \frac{1}{m} (\bar{q} s C_{yb} + F_{Ty}) \quad (2)$$

$$\dot{w} = qu - pv + g \cos \phi \cos \theta + \frac{1}{m} (\bar{q} s C_{zb} + F_{Tz}) \quad (3)$$



شکل 2 Boeing 747-100 passenger aircraft [10]

شکل 2 هوایی مسافربری بوئینگ 747-100 [10]

از دست رفتن کنترل هوایی ممکن است به دلایل گوناگون از جمله اشتباه خلبان و یا آسیب‌دیدگی هوایی روی دهد. آسیب‌دیدگی هوایی می‌تواند شامل نقص فنی سیستم کنترل پرواز، از دست رفتن تراست، خرابی اجزای بدنی و یا تهاجم نظامی به هوایی باشد که در این مقاله، آسیب‌دیدگی سیستم کنترل پرواز مدنظر است. از آنجایی که عملگر غالباً به عنوان ورودی سیستم کنترل شناخته می‌شود، خطای¹ و شکست² عملگرها نسبت به حسگرها و سایر اجزای سیستم کنترل، به مراتب عوامل مهم‌تری در خرابی سیستم کنترل پرواز به شمار می‌آید. خطای به یک رفتار ناهنجار سیستم مربوط می‌شود که ممکن است بر عملکرد کل سیستم تأثیرگذارد نباشد، اما در نهایت منجر به شکست سیستم گردد. در اثر بروز خطای، تغییرات ساختاری در سیستم به وجود می‌آید که منجر به کاهش عملکرد یا کاهش مرتبه‌ی سیستم حلقه بسته می‌شود [3]. از سویی دیگر، به توقف دائمی سیستم از اجرای عملکرد مورد انتظار تحت شرایط عملیاتی مشخص، شکست گفته می‌شود [4]. در اثر بروز یک یا چند خطای، شکست رخ می‌دهد که به عملکرد یک واحد سیستم پایان می‌دهد؛ بنابراین شکست در سیستم شرایط وخیم‌تری نسبت به خطای ایجاد می‌کند.

در سال 2009، پرواز شماره 447 هوایی فرانسه با هوایی ایرباس آ-330-300 دچار سانحه شد. بررسی‌ها نشان داد که این سانحه به دلیل آسیب‌دیدگی اسپویلرهای بال و در نتیجه اختلال در سیستم پرواز خودکار و از دست رفتن کنترل هوایی به وقوع پیوسته است. در اثر این آسیب، هوایی در اقیانوس اطلس سقوط کرده و همه‌ی 228 سرنشین آن جان خود را از دست دادند (شکل 1). این فاجعه و سوانح اسفباری از این دست، بر لزوم وجود سیستم‌های یدکی و جایگزین برای تخصیص ورودی کنترلی مناسب در زمان خرابی تأکید دارد که این موضوع تحت عنوان سیستم‌های کنترل پرواز تحمل خطای³ مطرح می‌شود.

سیستم کنترل تحمل خطای پرواز به انواعی از سیستم کنترل اطلاق می‌شود که به طور خودکار قادر به اصلاح خطای سیستم بوده و در شرایط پروازی بحرانی به هنگام بروز یک یا چند خطای و شکست، پایداری کلی و عملکرد مطلوب سیستم را بازیابی می‌کند. به عبارت دیگر، سیستم کنترل تحمل خطای پرواز یک سیستم کنترلی حلقه بسته است که نفوذ فنی را تحمل کرده و علاوه بر حفظ پایداری، سیستم آسیب‌دیده را با عملکردی رضایت‌بخش کنترل می‌کند [6].



شکل 1 سقوط هوایی ایرباس آ-330 در اقیانوس اطلس در اثر آسیب‌دیدگی عملگر کنترلی [5]

در سال‌های اخیر، روش‌های کنترلی متعددی در قالب سیستم‌های کنترل

1- Fault

2- Failure

3- Fault-Tolerant Flight Control Systems (FTFCS)

4- Sliding Mode Control (SMC)

5- Multiple Model Switching Control (MMSC)

6- Model Reference Adaptive Control (MRAC)

7- State-Dependent Riccati Equation (SDRE)

$$u_{iin} = [u_1 \ u_2 \ \dots \ u_i]^T \quad (10)$$

به طوری که $i=1,2,\dots,n$ و n ماکریم تعداد عملگرها است. Λ را ماتریس کارایی یا اثربخشی کنترل در مدل آسیب عملگر در نظر گرفته که یک ماتریس قطری با عنصر مثبت به فرم رابطه (11) است.

$$\Lambda = \begin{bmatrix} \Lambda_1 & 0 & \dots & 0 \\ 0 & \Lambda_2 & \dots & 0 \\ \vdots & \vdots & \ddots & \vdots \\ 0 & 0 & \dots & \Lambda_i \end{bmatrix} \quad (11)$$

اگر u_{iin} خروجی نامی و u_{iout} خروجی واقعی عملگر کنترلی باشد، مدل خطای عملگر عبارت است از:

$$u_{iout}(t) = \Lambda_i u_{iin}(t) \quad (12)$$

در رابطه (12)، پارامتر Λ_i درصد کارایی عملگر کنترلی است و همواره $0 < \Lambda_i \leq 1$. هنگامی که $\Lambda_i = 1$ ، بدین معنی است که هیچ خطأ یا آسیبی در عملگر نام رخ نداده است؛ و اگر $\Lambda_i < 1$ باشد، نشانگر بروز خطأ در عملکرد عملگر نام می باشد [14].

3-2- سناریوی دوم: از مهار خارج شدن² عملگر

از مهار خارج شدن به حالتی اطلاق می شود که عملگر کنترلی در پاسخ به فرمان ورودی کنترل به طور ناگهانی به سمت موقعیت ماکریم یا مینیمم حد فیزیکی خود حرکت می کند. به طور کلی قفل شدن عملگر در موقعیتی ثابت یک شکست محاسبه می شود؛ چرا که پس از آن، عملگر مورد نظر دیگر قابل استفاده نخواهد بود. این شکست معمولاً بر اثر یک توقف مکانیکی در سیستم هیدرولیک یا خطأ در واحد کنترل روی می دهد. از مهار خارج شدن سطوح کنترلی هواییما به جهت بار سازهای و کنترل پذیری، خطرناک ترین نوع آسیب دیدگی هواییما به شمار می رود [13].

این آسیب به فرم رابطه (13) مدل سازی می شود [14]:

$$u_{iout}(t) = u_{imin} \text{ یا } u_{iout}(t) = u_{imax} \quad (13)$$

سناریوی دوم توصیف کننده قفل شدن ایلوون در بیشترین حد فیزیکی آن است (شکل 3). قفل شدن ایلوون در زاویه بزرگ 20 درجه، منجر به بروز اختشاشات ناگهانی در حرکت عرضی-سمتی هواییما شده و مسیر پروازی را با افزایش حرکت غلتش و گردش ناخواسته به شدت منحرف خواهد نمود. برخلاف رادر و الیتور که کنترل های مربوط به جابجایی هستند، ایلوون کنترل گر نرخ غلتش هواییما است؛ بنابراین هر گونه تغییری در هندسه یا انحراف زاویه ایلوون، به تغییر در نرخ و زاویه غلتش منتهی می شود.



Fig. 3 Aileron lock at maximum deflection angle [13]

شکل 3 قفل شدن ایلوون در بیشترین زاویه انحراف [13]

معادلات سینماتیکی:

$$\begin{bmatrix} \dot{\phi} \\ \dot{\theta} \\ \dot{\psi} \end{bmatrix} = \begin{bmatrix} 1 & \sin \varphi \tan \theta & \cos \varphi \tan \theta \\ 0 & \cos \varphi & -\sin \varphi \\ 0 & \frac{\sin \varphi}{\cos \theta} & \frac{\cos \varphi}{\cos \theta} \end{bmatrix} \begin{bmatrix} \dot{p} \\ \dot{q} \\ \dot{r} \end{bmatrix} \quad (4)$$

معادلات ممتد:

$$\begin{bmatrix} \dot{p} \\ \dot{q} \\ \dot{r} \end{bmatrix} = \begin{bmatrix} I_{xx} & 0 & -I_{xz} \\ 0 & I_{yy} & 0 \\ -I_{xz} & 0 & I_{zz} \end{bmatrix}^{-1} \begin{bmatrix} M_x + (I_{yy} - I_{zz})qr + I_{xz}pq \\ M_y + (I_{zz} - I_{xx})pr + I_{xz}(r^2 - p^2) \\ M_z + (I_{xx} - I_{yy})pq - I_{xz}qr \end{bmatrix} \quad (5)$$

معادلات ناوبری:

$$\begin{bmatrix} \dot{x}_e \\ \dot{y}_e \\ \dot{z}_e \end{bmatrix} = \begin{bmatrix} c\theta c\psi & s\varphi s\theta c\psi - c\varphi s\psi & c\varphi s\theta c\psi + s\varphi s\psi \\ c\theta s\psi & s\varphi s\theta s\psi + c\varphi c\psi & c\varphi s\theta s\psi - s\varphi c\psi \\ s\theta & -s\varphi c\theta & -c\varphi c\theta \end{bmatrix} \begin{bmatrix} u \\ v \\ w \end{bmatrix} \quad (6)$$

در طراحی سیستم کنترل پرواز هواییما بهتر است که سرعت متوسط (V_t)، زاویه حمله (α) و زاویه سرش جانی (β) هواییما جایگزین مؤلفه های u ، v و w شود؛ این امر به چند دلیل صورت می گیرد که در مرجع [12] توضیح داده شده است. بنابراین سه معادله (7) تا (9) جایگزین معادلات نیرو یعنی معادلات (1) تا (3) می شود:

$$\begin{aligned} \dot{\alpha} &= \frac{1}{mV_t \cos \beta} (-F_x \sin \alpha + F_z \cos \alpha + mV_t (-p \cos \alpha \sin \beta \\ &\quad + q \cos \beta - r \sin \alpha \sin \beta)) \end{aligned} \quad (7)$$

$$\begin{aligned} \dot{\beta} &= \frac{1}{mV_t} (-F_x \cos \alpha \sin \beta + F_y \cos \beta - F_z \sin \alpha \sin \beta - mV_t \\ &\quad (-p \sin \alpha + r \cos \alpha)) \end{aligned} \quad (8)$$

$$\dot{V}_t = \frac{1}{m} (F_x \cos \alpha \cos \beta + F_y \sin \beta + F_z \cos \beta \sin \alpha) \quad (9)$$

3- مدل سازی آسیب

در این بخش دو سناریوی آسیب شامل یک خطأ و یک شکست عملگر کنترلی هواییما در حین پرواز توصیف و مدل سازی شده و تأثیر آن بر روی دینامیک پرواز هواییما مورد بررسی قرار خواهد گرفت.

3-1- سناریوی اول: کاهش کارایی¹ عملگر

کاهش کارایی عملگر یک خطأ محسوب می شود؛ چرا که پس از بروز این اتفاق، عملگر مورد نظر همچنان قابل استفاده است. این نوع آسیب دیدگی به صورت واکنش ناقص عملگر به سیگنال کنترلی تعریف می شود [13]. پیش از هر اقدام دیگری در طراحی سیستم کنترل تحمل خطأ پرواز، لازم است یک مدل ریاضی بسیار نزدیک به مدل آسیب دیدگی داشته باشیم. فرض می شود u_{iin} ، خروجی نامی عملگر کنترلی طبق رابطه (10) باشد.

$$\dot{x} = A(x)x + B(x)u, x(0) = x_0 \quad (17)$$

$$f(x) = A(x)x \quad (18)$$

$A(x)$ و $B(x)$ ضرایب وابسته به حالت می‌باشد. در مورد پارامترسازی وابسته به حالت تعاریف زیر مطرح است:

تعریف 1: $A(x)$ یک پارامترسازی کنترل‌پذیر سیستم غیرخطی است اگر جفت $\{A(x), B(x)\}$ به ازای کلیه‌ی x ‌ها کنترل‌پذیر باشد.

تعریف 2: $A(x)$ یک پارامترسازی پایدار‌پذیر سیستم غیرخطی است اگر جفت $\{A(x), B(x)\}$ به ازای کلیه‌ی x ‌ها پایدار‌پذیر باشد.

تعریف 3: اگر به ازای همه‌ی x ‌ها، مقادیر ویژه ماتریس $A(x)$ در سمت چپ محور x ‌ها قرار داشته باشد (قسمت حقیقی منفی باشد)، ماتریس $(A(x))$ را هورویتز³ می‌گوییم.

علاوه بر فرضیاتی که به آنها اشاره شد، چند فرض دیگر نیز باید منظور شود.

فرض 3: $A(0)$, $B(0)$, $Q(0)$ و $R(0)$ توابع ارزش‌گذاری شده ماتریسی $C^1(\mathbb{R}^n)$ هستند.

فرض 4: جفت $\{A(x), B(x)\}$ و $\{A(x), Q^{1/2}(x)\}$ پارامترسازی‌های وابسته به حالت سیستم غیرخطی (15) به ازای همه‌ی x ‌ها به ترتیب پایدار‌پذیر نقطه‌ای و تشخیص‌پذیر است.

طراحی کنترلر بهینه غیرخطی روندی مشابه طراحی روش کنترلی خطی نظری خود (تنظیم‌کننده بهینه خطی)⁴ دارد. در روش غیرخطی، تولید قانون کنترل با حل معادله‌ی ریکاتی وابسته به حالت در هر مرحله صورت می‌گیرد. کنترلر فیدبک حالت فرمی مشابه حالت خطی خواهد داشت:

$$u(x) = -R^{-1}(x)B^T(x)P(x)x \quad (19)$$

یک حل یکتا، متقارن و مثبت معین برای معادله‌ی ریکاتی وابسته به حالت (20) است:

$$P(x)A(x) + A^T(x)P(x) - P(x)B(x)R^{-1}(x)B^T(x)P(x) + Q(x) = 0 \quad (20)$$

دینامیک حلقه بسته به فرم رابطه (21) است:

$$\dot{x} = [A(x) - B(x)R^{-1}(x)B^T(x)P(x)]x \quad (21)$$

بهره‌ی فیدبک حالت غیرخطی عبارت است از:

$$K(x) = R^{-1}(x)B^T(x)P(x) \quad (22)$$

همان گونه که از این معادلات مشخص است، بهره‌ی کنترلی وابسته به بردار حالت x می‌باشد. این بهره با هر بار حل معادله‌ی ریکاتی تغییر می‌کند. از مزایای این تکنیک می‌توان به سادگی و اثربخشی آن اشاره نمود. چنانچه مشاهده شد، هیچ تلاشی برای حل معادله‌ی همیلتون-ژاکوبی - بلمن صورت نگرفت. هنگامی که ضرایب و ماتریس‌های وزنی ثابت باشند، مسئله‌ی تنظیم‌کننده بهینه غیرخطی به مسئله‌ی شناخته شده‌ی تنظیم‌کننده بهینه خطی تبدیل می‌شود. اثبات پایداری مجانية در این روش توسط تئوری پایداری لیاپانوف صورت می‌گیرد.

تبصره: فرض کنید $Q(x)$ به اندازه‌ی کافی بزرگ و یا $R(x)$ به اندازه‌ی کافی کوچک انتخاب شود به طوری که به ازای همه‌ی x ‌ها:

$$\dot{P} - Q - PBR^{-1}B^TP < 0 \quad (23)$$

بنابراین، به ازای هر نوع پارامترسازی وابسته به حالت، درصورتی که سیستم غیرخطی کنترل‌پذیر و مشاهده‌پذیر باشد، حل حلقه بسته همواره پایدار مجانية خواهد بود.

3- Hurwitz

4- Linear Quadratic Regulator (LQR)

دو ایلوون واقع بر بال‌های راست و چپ هوایی می‌تواند مقادیر یکسان یا متفاوتی با یکدیگر داشته باشد، اما در مدل‌سازی هوایی معمولاً فقط یک مقدار به زاویه‌ی انحراف ایلوون اختصاص داده می‌شود. مقدار متوسط انحراف ایلوون از رابطه‌ی (14) محاسبه می‌شود [15]:

$$\delta_a = \frac{1}{2} \left(|\delta_{a_{\text{left}}}| + |\delta_{a_{\text{right}}}| \right) \quad (14)$$

4- روش کنترلی تنظیم‌کننده بهینه غیرخطی

روش کنترلی تنظیم‌کننده بهینه غیرخطی یا معادله‌ی ریکاتی وابسته به حالت، یک معادله‌ی ریکاتی جبری¹ را برای تولید قانون کنترل بهینه حل می‌کند. ویژگی منحصر به فرد این روش آن است که به دلیل ماهیت وابسته به حالت ضرایب، معادله‌ی ریکاتی در هر مرحله با ضرایب متغیر حل می‌شود؛ این بدان معنی است که بهره‌ی کنترل فیدبک در هر مرحله با مرحله‌ی قبل متفاوت است. به طور یقین این امر را می‌توان یک ویژگی مطلوب در طراحی کنترلر تحمل خطای پرواز دانست. قانون کنترلی قادر است خود را در پاسخ به تغییرات پارامتری هوایی به طور فعال تعديل کند. علاوه بر این، به دلیل وجود ضرایب غیر یکتا و وابسته به حالت، درجات آزادی طراحی کنترلر افزایش می‌یابد.

دینامیک سیستم غیرخطی به صورت رابطه (15) در نظر گرفته می‌شود:

$$\dot{x}(t) = f(x) + B(x)u(t) \quad x(0) = x_0 \quad (15)$$

که $x \in \mathbb{R}^n$ بردار حالت و $u \in \mathbb{R}^m$ بردار کنترل است؛ $f : \mathbb{R}^n \rightarrow \mathbb{R}^n$ و $B : \mathbb{R}^n \rightarrow \mathbb{R}^{n \times m}$.

مسئله‌ی تنظیم‌کننده‌ی غیرخطی،تابع هزینه‌ی افق نامتناهی (16) را با بردار حالت x و بردار کنترل u برای دینامیک سیستم غیرخطی معادله‌ی (15) حداقل می‌کند:

$$J = \frac{1}{2} \int_0^\infty (x^T Q(x)x + u^T R(x)u) dt \quad (16)$$

$Q(x)$ و $R(x)$ به ترتیب ماتریس‌های وزنی حالت و کنترل بوده که می‌تواند وابسته به حالت باشد؛ به طوری که برای همه‌ی x ‌ها، $Q(x)$ مثبت نیمه معین و $R(x)$ مثبت معین است. $Q(x)$ را می‌توان به فرم $Q(x) = C^T(x)C(x)$ نیز توصیف نمود. به منظور تولید قانون کنترل در تکنیک معادله ریکاتی وابسته به حالت، ابتدا می‌بایست ضرایب وابسته به حالت² معرفی شود. این ضرایب توسط فرآیندی که به نام‌های خطی‌سازی تعمیم یافته [16]، خطی‌سازی معلوم [17] و یا پارامترسازی ضرائب وابسته به حالت [18] شناخته می‌شود، تولید می‌گردد. در این روند، دینامیک غیرخطی به ساختاری شبکه تبدیل شده که با ماتریس‌های وابسته به حالت توصیف می‌شود. در اینجا لازم است دو فرض مهم را در نظر بگیریم [18]:

فرض 1: تابع $f(x)$ به ازای همه‌ی x ‌ها، مشتق‌پذیر پیوسته نسبت به x است.

فرض 2: مبدأ $x = 0$ بدون استثناء، نقطه‌ی تعادل سیستم با $u = 0$ است. این بدان معنی است که $0 = f(0) = 0$ و $0 \neq R(0)$.

این دو فرض مخصوص و وجود یک پارامترسازی عمومی وابسته به حالت برای $f(x)$ می‌باشد [19]، در نتیجه، معادله دیفرانسیل غیرخطی (15) را می‌توان به صورت رابطه‌ی (17) نوشت:

1- Algebraic Riccati Equation (ARE)

2- State-Dependent Coefficients (SDCs)

اثبات: فرض می‌شود:

$$V(x) = x^T P(x) x \quad (24)$$

که $V(x)$ تابع کاندید لیاپانوف و $P(x)$ حل معادله ریکاتی (20) باشد. طبق ویژگی مشاهده‌پذیری ماتریس ضرائب وابسته به حالت $(A(x))$ داریم:

$$V(x) > 0, P(x) > 0 \quad (25)$$

حال با استفاده از روابط (20) و (21) داریم:

$$\dot{V} = x^T \dot{P}x + x^T P \dot{x} + \dot{x}^T P x \quad (26)$$

$$= x^T \dot{P}x + x^T P (Ax - gR^{-1}g^T P x) + (Ax - gR^{-1}g^T P x^T) P x \quad (27)$$

$$= x^T (\dot{P} + PA - PBR^{-1}B^T P + A^T P - PBR^{-1}B^T P)x \quad (28)$$

$$= x^T (\dot{P} - Q - PgR^{-1}g^T P)x \quad (29)$$

بنابراین، بر اساس انتخاب Q و $R < 0$ ، از آنجا که پارامترسازی $(A(x))$ کنترل‌پذیر و مشاهده‌پذیر است، یک ثابت $0 > \bar{P}$ وجود دارد به طوری که:

$$V(x) = x^T P(x) x \geq x^T \bar{P} x \quad (30)$$

که نشان می‌دهد به ازای $\|x\| \rightarrow \infty$ ، $V(x) \rightarrow \infty$. نقطه‌ی تعادل در مبدأ همواره پایدار مجانبی است [18].

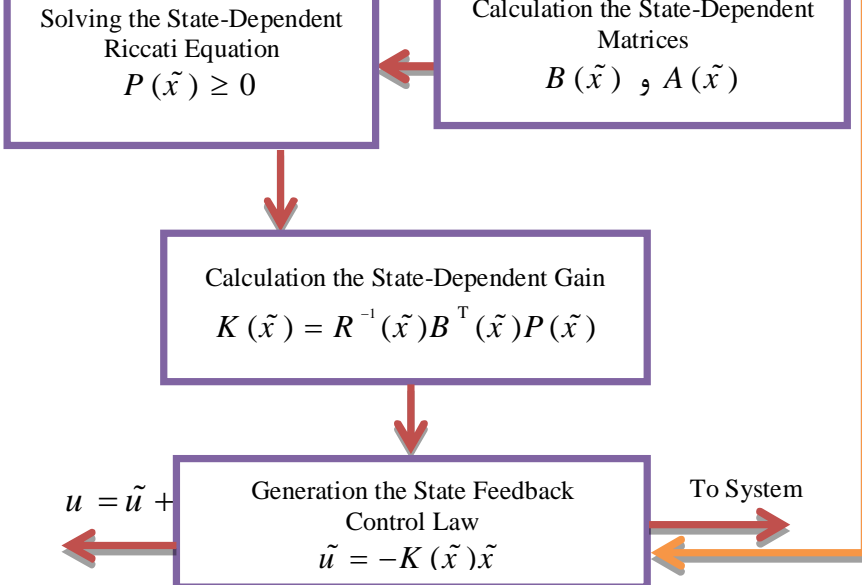


Fig. 4 Flowchart of nonlinear optimal regulator design [20]

شکل 4 فلوچارت طراحی تنظیم‌کننده بهینه غیرخطی [20]

$$A(x) = \begin{bmatrix} a_{11} & a_{12} & a_{13} & a_{14} & 0 & 0 & 0 & a_{18} & 0 & a_{110} \\ a_{21} & a_{22} & a_{23} & a_{24} & 0 & 0 & a_{27} & 0 & 0 & a_{210} \\ a_{31} & a_{32} & a_{33} & 0 & 0 & 0 & a_{37} & a_{38} & 0 & 0 \\ 0 & 0 & a_{43} & 0 & 0 & 0 & 0 & a_{48} & a_{49} & 0 \\ a_{51} & a_{52} & 0 & a_{54} & 0 & 0 & 0 & 0 & a_{59} & a_{510} \\ a_{61} & a_{62} & a_{63} & a_{64} & 0 & a_{66} & a_{67} & a_{68} & a_{69} & 0 \\ a_{71} & a_{72} & 0 & 0 & 0 & 0 & a_{77} & a_{78} & 0 & 0 \\ a_{81} & a_{82} & 0 & 0 & 0 & 0 & a_{87} & a_{88} & 0 & 0 \\ 0 & 0 & a_{93} & a_{94} & 0 & 0 & 1 & a_{98} & a_{99} & 0 \\ a_{101} & a_{102} & 0 & a_{104} & 0 & 0 & 0 & 0 & a_{109} & a_{1010} \end{bmatrix} \quad (33)$$

$$B(x) = \begin{bmatrix} b_{11} & 0 & 0 & 0 & b_{61} & 0 & 0 & 0 & 0 \\ b_{12} & b_{22} & b_{32} & 0 & 0 & 0 & 0 & 0 & 0 \\ 0 & 0 & 0 & 0 & 0 & 0 & b_{73} & b_{83} & 0 & 0 \\ 0 & 0 & 0 & 0 & 0 & 0 & b_{74} & b_{84} & 0 & 0 \end{bmatrix}^T \quad (34)$$

5- سناریوی اول: کاهش کارایی الیتور

در این سناریو، درصدی افت کارایی برای الیتور هوایی بوئینگ در نظر گرفته می‌شود؛ بدین ترتیب که فرض می‌شود در حالی که هوایی دهمین ثانیه پرواز کروز خود را در ارتفاع 6096 متری (20000 فیتی) از سطح زمین و با سرعت 205.13 متر بر ثانیه (673 ft/s) طی می‌کند، به طور

5- طراحی کنترل تحمل خطأ با استفاده از تکنیک غیرخطی

عملکرد سیستم کنترل تحمل خطأ بدین ترتیب است که ابتدا می‌بایست توسط زیر سیستم تعیین و تشخیص خطأ^۱، وجود خطأ در سیستم مشخص شده و نوع آن شناسایی شود. پس از آن، کنترل تحمل خطأ با تنظیم و تطبیق فعالیت خود با رفتار سیستم آسیب‌دیده، توانایی واکنش در برابر خطأ رخ داده را دارد. نمودار شکل 4، فرآیند سیستماتیک تولید بهره‌ی فیدبک حالت غیرخطی را با روش کنترلی تنظیم‌کننده بهینه غیرخطی نشان می‌دهد [20]. بر اساس شکل 4، نخستین گام در طراحی این کنترل به منظور تولید قانون کنترل، پارامترسازی معادلات غیرخطی هواییما به فرم ضرایب وابسته به حالت است. در این روند، معادلات غیرخطی شش درجه آزادی پرواز هواییما بر اساس متغیرهای حالت و کنترل، به یک فرم شبکه‌ای تبدیل می‌شود. در سیستم‌های چندمتغیره، پارامترسازی برای آن می‌توان در نظر گرفت. انتخاب پارامترسازی علاوه بر اینکه می‌تواند مانع سینگولاریتی و کنترل ناپذیری سیستم شود، منجر به مصالحه‌ای بین عملکرد، بهینگی، پایداری، مقاومت و دفع اغتشاشات سیستم می‌گردد.

بردارهای حالت و کنترل به صورت روابط (31) و (32) تعیین می‌شود:

$$x_c = [u \ w \ q \ \theta \ h \ \beta \ p \ r \ \varphi \ v]^T \quad (31)$$

$$u_c = [\delta t \ \delta e \ \delta a \ \delta r]^T \quad (32)$$

ماتریس‌های ضرایب وابسته به حالت هواییما در طراحی کنترل بهینه غیرخطی به فرم روابط (33) و (34) است. محاسبه‌ی ماتریس‌های ضرایب و کنترل سیستم با استفاده از عملیات جبری بر اساس روش بیان شده در مرجع [18] انجام شده و استخراج کلیه‌ی عناصر این ماتریس‌ها در بخش پیوست مقاله ارائه شده است.

1- Fault Detection and Diagnosis (FDD)

100 برگرفته از مرجع [21] می‌باشد.

1-6- شبیه‌سازی سناریوی اول بدون کنترل

شکل‌های 5 تا 9، نحوی تغییر پارامترهای پرواز طولی را در اثر آسیب اول (کاهش کارایی الیتور) بدون هیچ گونه اعمال کنترل در 200 ثانیه‌ی نخست پرواز کروز نشان می‌دهد.

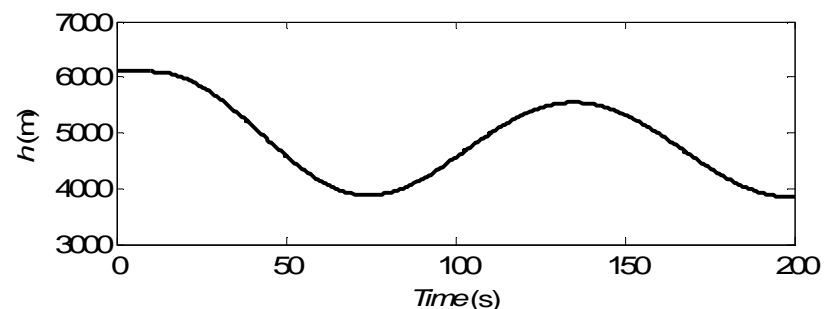


Fig. 5 Changes in altitude

شکل 5 تغییرات ارتفاع

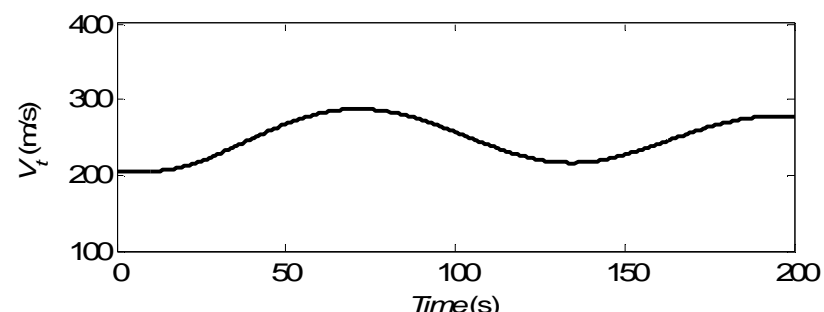


Fig. 6 Changes in mean speed

شکل 6 تغییرات سرعت متوسط

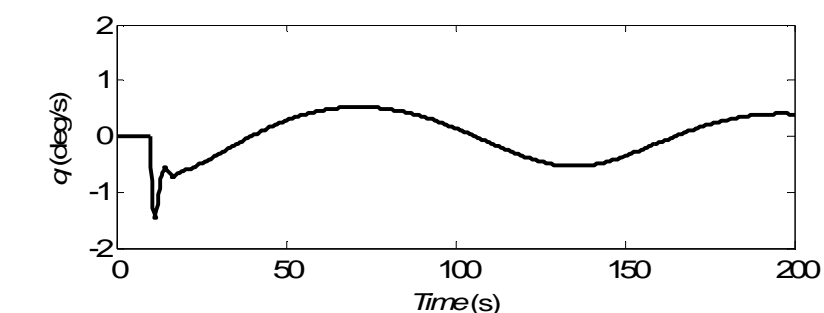


Fig. 7 Changes in pitch rate

شکل 7 تغییرات نرخ زاویه پیچش

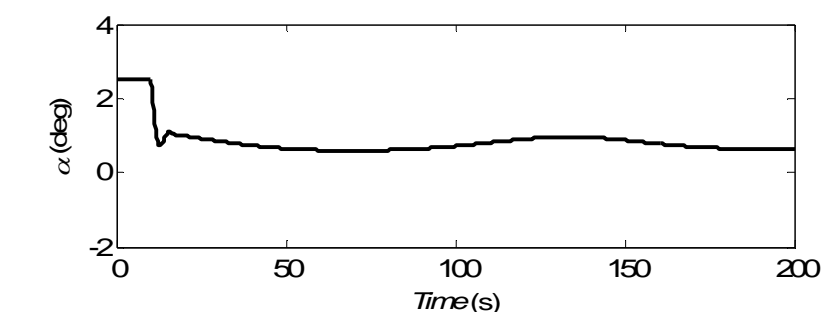


Fig. 8 Changes in angle of attack

شکل 8 تغییرات زاویه حمله

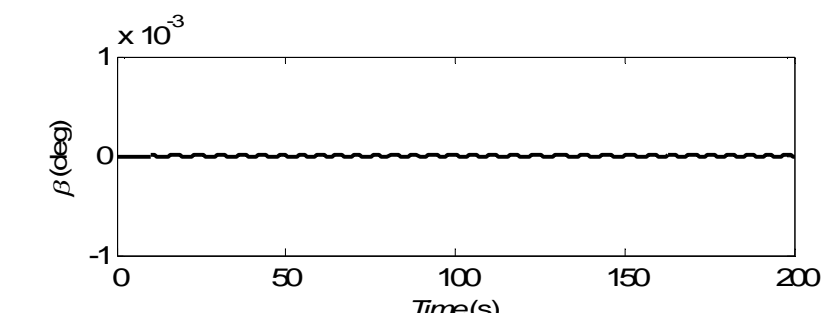


Fig. 9 Changes in sideslip angle

شکل 9 تغییرات زاویه سرش جانبه

ناگهانی الیتور هوایی 70% از کارایی خود را از دست می‌دهد. طبق رابطه (12) خواهیم داشت:

$$u_{out}(t) = 0.3u_{in}(t) \quad (35)$$

مقادیر اولیه‌ی بردار متغیرهای حالت طبق رابطه (36) توصیف می‌شود که بیانگر 0.1524 m/s (1 ft/sec) کاهش در سرعت رو به جلو، 0.3048 m/s (0.5 ft/sec) افزایش در سرعت رو به پایین، 0.00349 radian (0.2 deg) کاهش در زاویه و نرخ پیچش و 0.1524 m (0.5 ft) کاهش ارتفاع هوایی می‌باشد. برای رسیدن به همگرایی مطلوب، Q به صورت ماتریس قطری (37) و R به صورت ماتریس قطری (38) انتخاب می‌شود.

$$x_0 = [-0.3048 \quad 0.1524 \quad -0.00349 \quad -0.1524 \quad 0 \quad 0 \quad 0 \quad 0 \quad 0] \quad (36)$$

$$Q = \text{diag}[4; 4; 5.2525e4; 1.3131e8; 4001.3131e8; 8.207e4; 8.207e4; 1.3131e8; 4] \quad (37)$$

$$R = \text{diag}[2e4; 1e5; 1e7; 1e5] \quad (38)$$

2- سناریوی دوم: از مهار خارج شدن ایلون

در این سناریو فرض می‌شود که در فاز پروازی مشابه سناریوی قبل (ثانیه‌ی دهم پرواز کروز مستقیم و پایدار هوایی در ارتفاع 6096 متری و با سرعت 205.13 متر بر ثانیه)، ایلون‌های هوایی در بیشترین حد انحراف خود ثابت شده و دیگر قادر به حرکت نمی‌باشد. بروز این آسیب در ارتفاعات بالا منجر به تولید نیروهای آیرودینامیکی ناخواسته و شدیدی می‌شود که در صورت عدم جبران، بدنه و بال هوایی را به شدت تحت تأثیر قرار داده و چه بسا در نخستین ثانیه‌های بروز آسیب، هوایی دچار شکست سازه‌ای گشته و سانحه‌ی جبران ناپذیری به وقوع خواهد پیوست. ماکریم میزان انحراف مثبت برای ایلون 30 درجه و ماکریم انحراف منفی 10 درجه می‌باشد. بنابراین ماکریم میزان زاویه انحراف ایلون طبق رابطه (39)، 20 درجه می‌باشد.

$$\delta_{a_{max}} = \frac{1}{2} \left(|30^\circ| + |-10^\circ| \right) = 20^\circ \quad (39)$$

به منظور اعمال کنترل تنظیم‌کننده بهینه غیرخطی برای کنترل شرایط ناپایدار بعد از وقوع شکست ایلون، پس از تشکیل ماتریس‌های ضرائب و کنترل وابسته به حالت مشابه روندی که در سناریوی اول صورت گرفت، شرایط اولیه طبق ماتریس (40) و ماتریس‌های وزنی Q و R مانند ماتریس‌های قطری (41) و (42) در نظر گرفته می‌شود.

$$x_0 = [0 \quad 0 \quad 0 \quad 0 \quad 0 \quad -0.01745 \quad 0.00873 \quad 0.00873 \quad 0.03491 \quad 0] \quad (40)$$

$$Q = \text{diag}[4e6; 4e8; 5.2525e4; 1.3131e4; 4e8; 3.2828e11; 3.2828e13; 1.3131e14; 1.3131e12; 4e4] \quad (41)$$

$$R = \text{diag}[2e5; 1e6; 1e3; 5e4] \quad (42)$$

6- نتایج شبیه‌سازی

شبیه‌سازی‌های این مقاله به چهار بخش تفکیک می‌شود. دو بخش اول مربوط به شبیه‌سازی سناریوهای آسیب‌دیدگی بدون اعمال ورودی کنترلی و دو بخش دوم، شبیه‌سازی سناریوهای آسیب با حضور سیستم کنترل تحمل خطأ توسط دو تکنیک تنظیم‌کننده مربعی خطی و غیرخطی می‌باشد. مشخصات فیزیکی و اطلاعات عددی مورد نیاز برای مدل‌سازی هوایی بوئینگ 747-

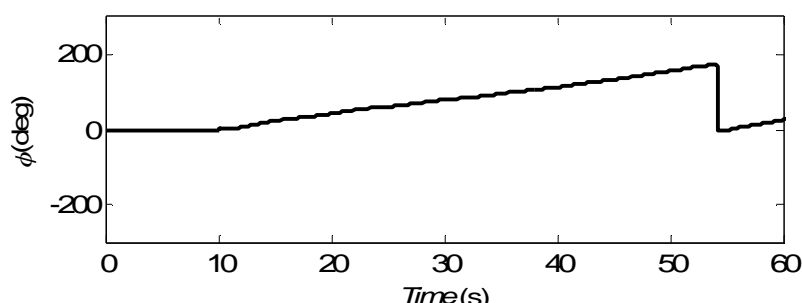


Fig. 13 Changes in roll angle

شکل 13 تغییرات زاویه غلتش

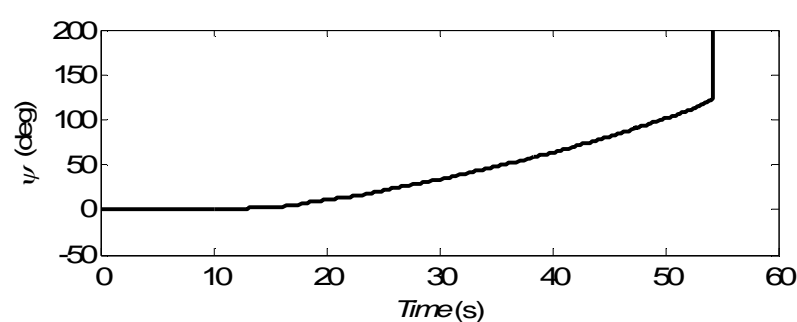


Fig. 14 Changes in yaw angle

شکل 14 تغییرات زاویه گردش

6-3- شبهه‌سازی سناریوی اول تحت کنترل حلقه‌بسته خطی و غیرخطی

در این بخش، دو تکنیک تنظیم‌کننده بهینه خطی و غیرخطی برای کنترل اغتشاشات وارد به هواییما در اثر افت کارایی الیتور (سناریوی اول) پیاده شده و تأثیر هر یک از این دو کنترلر در پایدارسازی هواییما آسیب‌دیده نشان داده شده و با یکدیگر مقایسه می‌گردد. همان‌گونه که پیش‌تر ذکر شد، فرض می‌شود که هواییما در ثانیه‌ی دهم پرواز کروز مستقیم در حالی که در ارتفاع 6096 متری و با سرعت 205.13 متر بر ثانیه در حال پرواز است، ناگهان با افت 70 درصدی کارایی الیتور مواجه می‌شود. مقایسه‌ی تغییرات رفتار سیستم با تنظیم‌کننده بهینه خطی و غیرخطی با شرایط اولیه و ماتریس‌های وزنی یکسان در نمودارهای 15 تا 19 و تغییرات ورودی‌های کنترلی اعمال شده نیز در نمودارهای 20 تا 23 ترسیم شده است. در این نمودارها، خطوط تیره نمایش‌گر پاسخ کنترل بهینه غیرخطی و خط‌چین‌ها نمایش‌دهنده‌ی پاسخ کنترل بهینه خطی است.

شکل 20 نشان می‌دهد که کنترلر غیرخطی بر خلاف کنترلر خطی، علاوه بر الیتور، از تغییر در تنظیمات تراول موتور نیز برای کنترل سناریوی آسیب بهره می‌گیرد. از نمودارهای مربوط به مقادیر کنترلی مود عرضی-سمتی (شکل‌های 22 و 23) نیز می‌توان دریافت که هر دو کنترلر بدون استفاده از عملگرهای کنترلی عرضی-سمتی، اغتشاشات مود طولی هواییما را کنترل می‌کند.

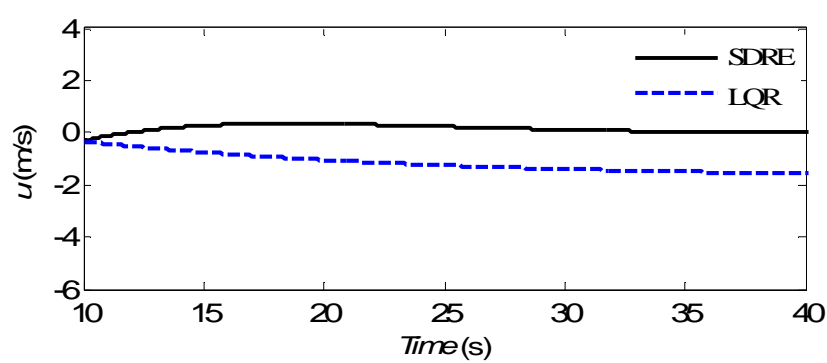


Fig. 15 Changes in forward velocity

شکل 15 تغییرات سرعت روبه جلو

چنانچه مشاهده می‌شود، به دلیل اینکه هواییما در فاز پروازی کروز در مسیر پروازی مستقیم و رو به جلو قرار دارد، کاهش کارایی الیتور در این فاز بیشترین تأثیر خود را روی پارامترهای پرواز طولی هواییما از خود نشان می‌دهد. بر اساس این نمودارها، بالاصله پس از افت 70 درصدی کارایی الیتور، ارتفاع هواییما شروع به کاهش نموده و سرعت متوسط هواییما افزایش می‌یابد. زوایای حمله و مسیر نیز با کاهش نموده کارایی الیتور، کاهش می‌یابد. اگر چنین شرایطی تحت کنترل قرار نگیرد، در اثر کاهش ارتفاع و زاویه حمله و افزایش بیش از حد سرعت، هواییما آسیب‌دیده قطعاً سقوط خواهد کرد.

6-2- شبیه‌سازی سناریوی دوم بدون کنترل

این بخش مربوط به شبیه‌سازی پرواز هواییما آسیب‌دیده بدون اعمال نیروی کنترلی در سناریوی دوم است. شکل‌های 10 تا 14 رفتار هواییما را نشان می‌دهد که در ثانیه‌ی دهم پرواز کروز ناگهان ایلون‌های سمت راست و چپ آن در ماکزیمم حد انحراف خود (20 درجه) قفل شده و قادر به حرکت نمی‌باشد. شبیه‌سازی تا 60 ثانیه‌ی نخست پرواز کروز انجام شده است.

نمودارها نشان می‌دهد که کلیه‌ی پارامترهای مربوط به پرواز طولی و عرضی-سمتی تحت تأثیر این خرابی قرار خواهد گرفت، که این امر به دلیل کوپلینگ قوی بین معادلات طولی و عرضی-سمتی هواییما است؛ اما بیشترین تأثیر آن بر روی زاویه‌ی غلتش و گردش و نرخ این دو زاویه مشاهده می‌شود. در شبیه‌سازی‌های انجام گرفته، نیاز به یک الگوریتم فیدبک و کنترل تحمل خطای حلقه‌بسته مشهود است. اغتشاشات وارد شده به هواییما تا حدی شدید است که در همان ثانیه‌های نخست آسیب‌دیدگی، مؤلفه‌های سرعت هواییما افزایش چشمگیری داشته و در صورت عدم کنترل وضعیت موجود، کمتر از 60 ثانیه پس از وقوع این شکست، هواییما سقوط خواهد کرد.

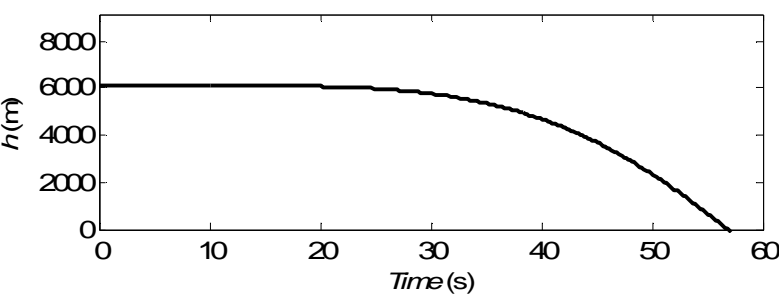


Fig. 10 Changes in altitude

شکل 10 تغییرات ارتفاع

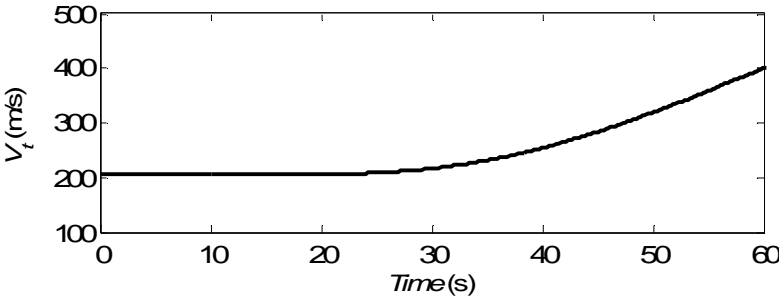


Fig. 11 Changes in mean speed

شکل 11 تغییرات سرعت متوسط

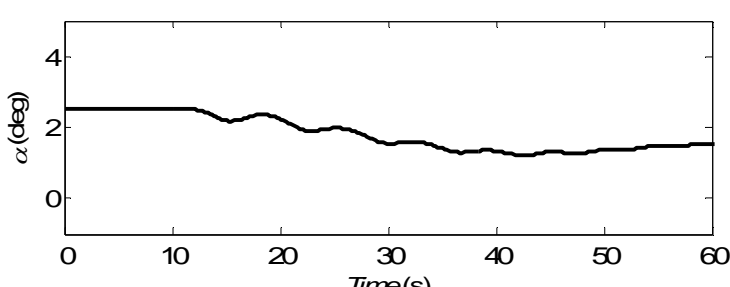


Fig. 12 Changes in angle of attack

شکل 12 تغییرات زاویه حمله

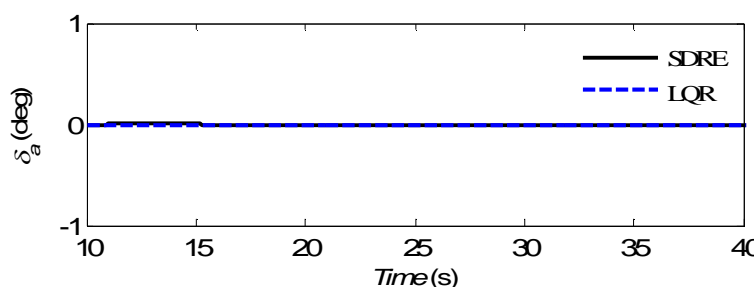


Fig.22 Changes in aileron deflection input

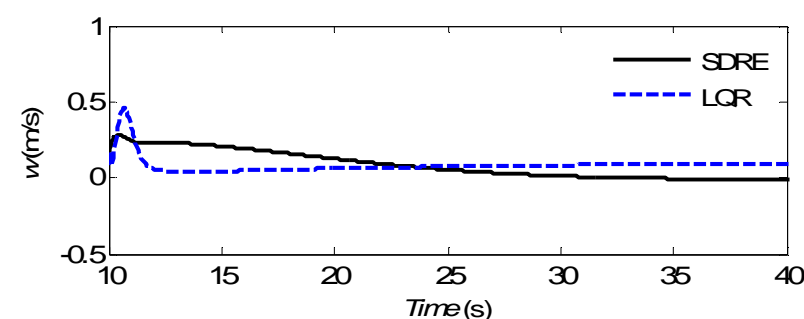


Fig. 16 Changes in downward velocity

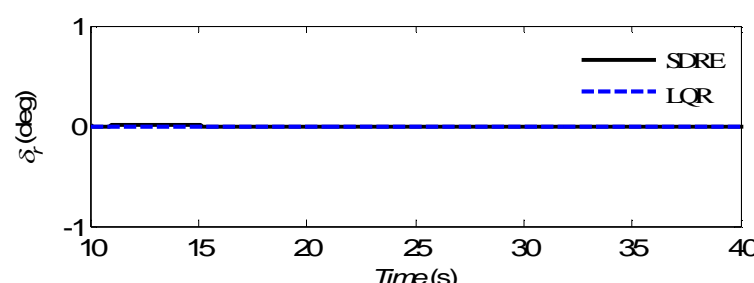


Fig.23 Changes in rudder deflection input

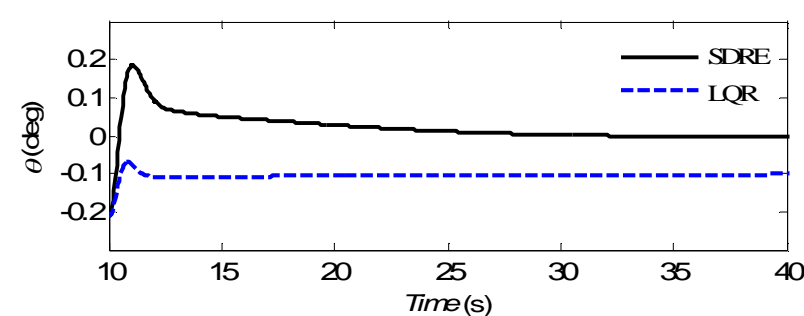


Fig. 17 Changes in pitch angle

بر اساس نتایج این بخش از شبیه‌سازی، اگرچه کنترل معادله ریکاتی وابسته به حالت در اغلب نمودارهای فوق به دلیل ویژگی غیرخطی خود دارای دامنه نوسانی بیشتری نسبت به کنترل خطی است، اما به خوبی قادر به بازگرداندن سیستم به شرایط پروازی مطلوب در حداقل زمان ممکن است. این امر حاکی از دقیق و کارایی بالای این کنترل به دلیل ماهیت غیرخطی و وابستگی ماتریس‌های ضرایب و کنترل به مقادیر حالت هواپیما در هر لحظه می‌باشد.

4-6- شبیه‌سازی سناریوی دوم تحت کنترل حلقه‌بسته خطی و غیرخطی

در این قسمت رفتار هواپیمای کنترل شده در سناریوی دوم توسط کنترلر بهینه خطی و غیرخطی شبیه‌سازی و مقایسه می‌شود. شبیه‌سازی از لحظه‌ی آسیب (ثانیه‌ی دهم) تا ثانیه‌ی 150 پرواز کروز انجام گرفته است. شکل‌های 36 تا 32 مربوط به تغییرات متغیرهای حالت و نمودارهای 33 تا 36 تغییرات ورودی‌های کنترل را نشان می‌دهد.

بر اساس نمودارهای 24 تا 28 که مربوط به تغییرات پارامترهای طولی هواپیما است، آسیب‌دیدگی ایلوون هیچ تغییری در پرواز طولی هواپیما در سیستم خطی ایجاد نمی‌کند. این امر که نشان‌دهندهی مهم‌ترین ضعف کنترل خطی است، به دلیل استفاده از معادلات خطی دی‌کوپله در مودهای پروازی طولی و عرضی-سمتی هواپیما در طراحی کنترل خطی است.

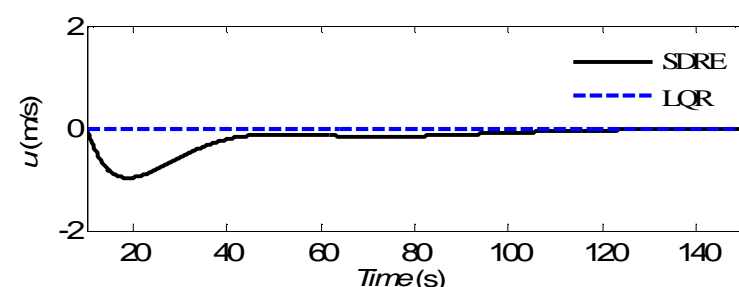


Fig. 24 Changes in forward velocity

شکل 24 تغییرات سرعت رو به جلو

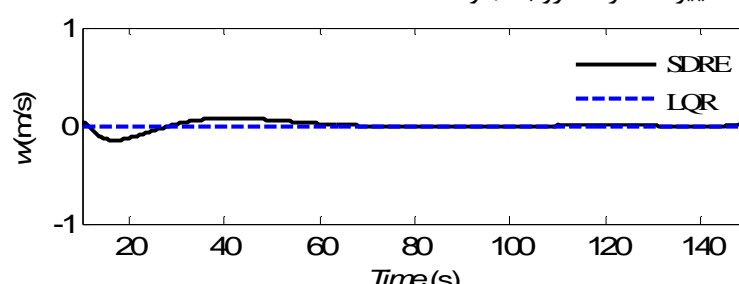


Fig. 25 Changes in downward velocity

شکل 25 تغییرات سرعت رو به پایین

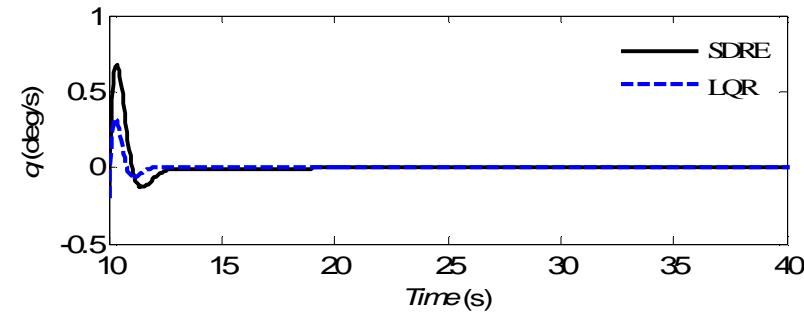


Fig. 18 Changes in pitch rate

شکل 18 تغییرات نرخ پیچش

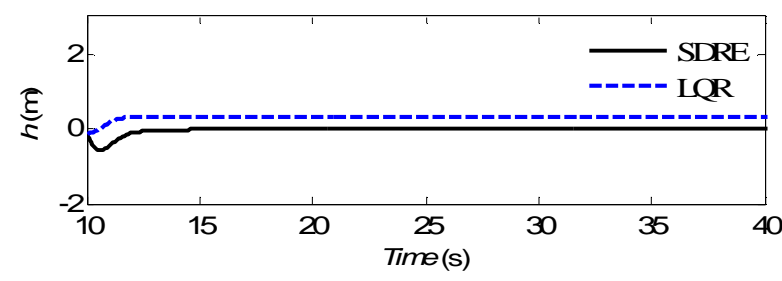


Fig. 19 Changes in altitude

شکل 19 تغییرات ارتفاع

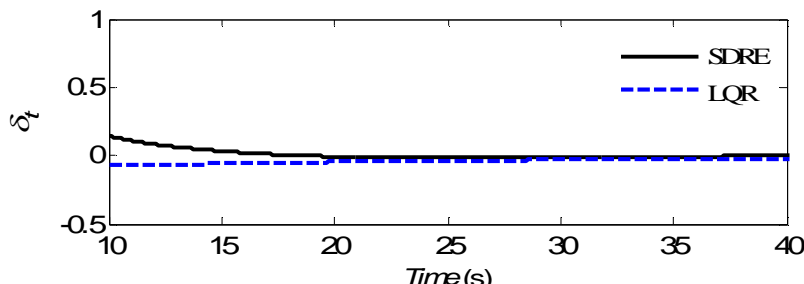


Fig. 20 Changes in differential thrust input

شکل 20 تغییرات ورودی اختلاف تراست

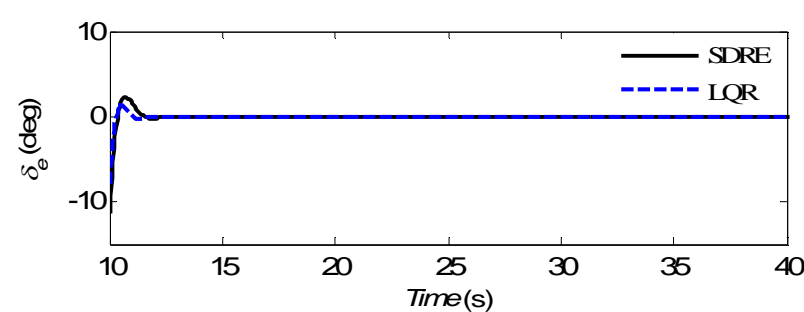


Fig. 21 Changes in elevator deflection input

شکل 21 تغییرات ورودی انحراف الیتور

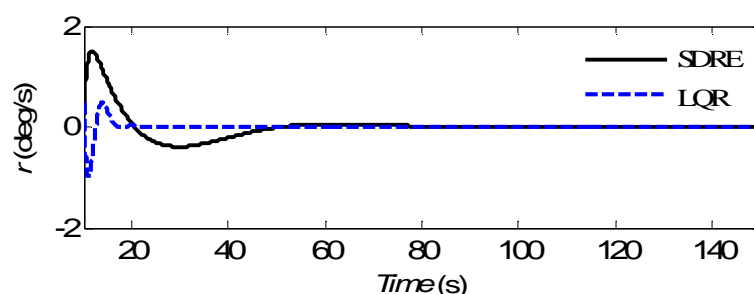


Fig.32 Changes in yaw rate

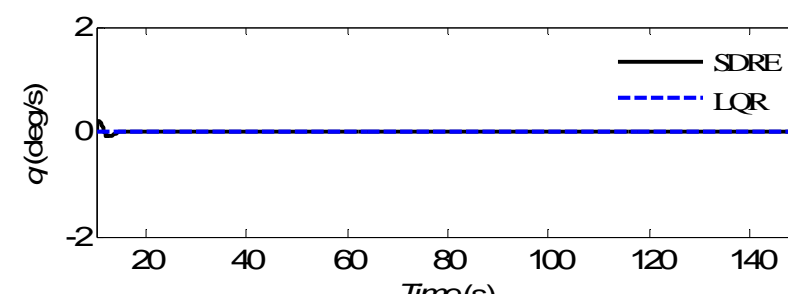


Fig. 26 Changes in pitch rate

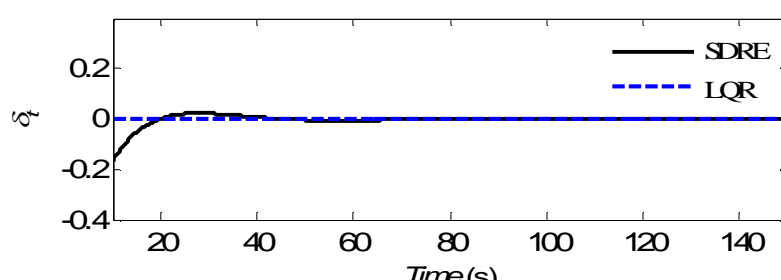


Fig.33 Changes in differential thrust input

شکل 33 تغییرات ورودی اختلاف تراست

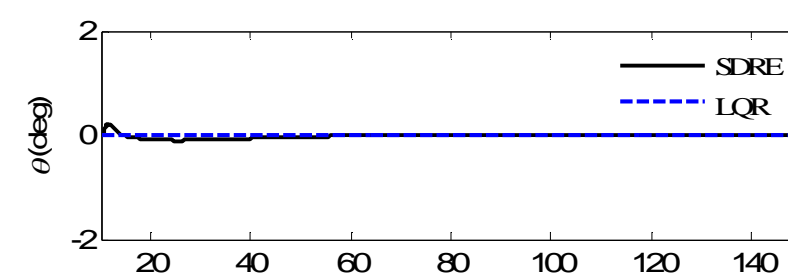


Fig. 27 Changes in pitch angle

شکل 27 تغییرات زاویه پیچش

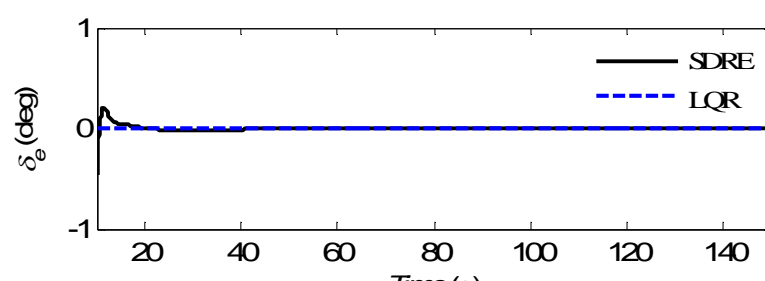


Fig.34 Changes in elevator deflection input

شکل 34 تغییرات ورودی انحراف الوبیتور

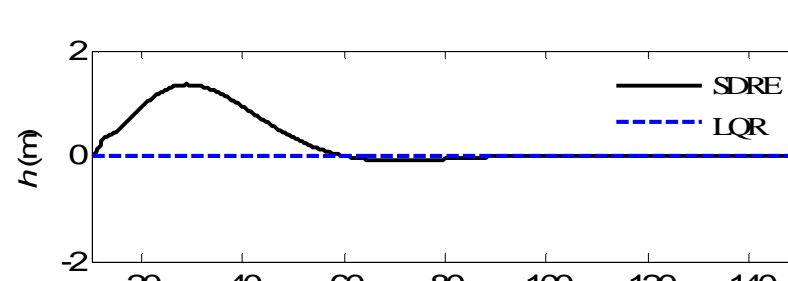


Fig. 28 Changes in altitude

شکل 28 تغییرات ارتفاع

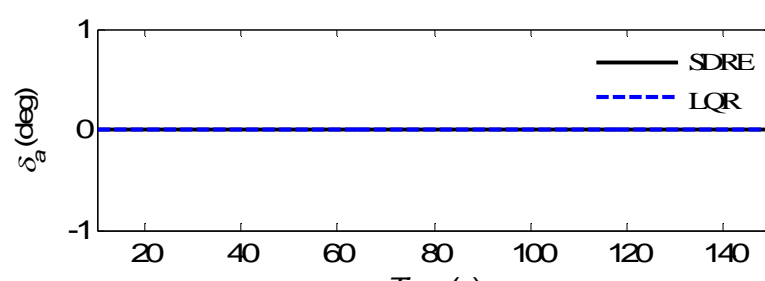


Fig.35 Changes in aileron deflection input

شکل 35 تغییرات ورودی انحراف ایلوون

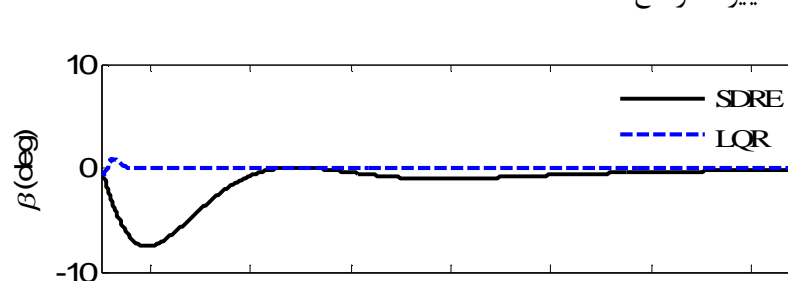


Fig.29 Changes in sideslip angle

شکل 29 تغییرات زاویه سرش جانی

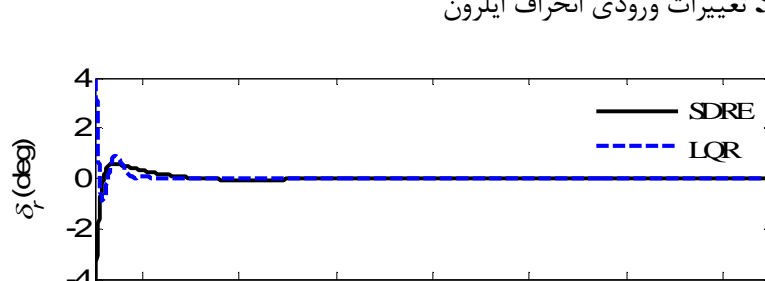


Fig.36 Changes in rudder deflection input

شکل 36 تغییرات ورودی انحراف رادر

از نمودارهای فوق می‌توان نتیجه گرفت که تنظیم‌کننده بهینه غیرخطی با کوپلینگ کامل مودهای پروازی طولی و عرضی-سمتی هواییما و با استفاده از مدل واقعی غیرخطی هواییما آسیب‌دیده، در هر لحظه با فیدبک گرفتن از تغییرات حالت سیستم، منجر به تعریف جدیدی از ماتریس حالت سیستم و تولید قانون کنترلی می‌شود. بدین ترتیب تغییرات وارد شده به پارامترهای هواییما در اثر آسیب طی مدت زمان کوتاهی کنترل شده و به مقدار مطلوب که همان مقادیر تریم حالت کروز هواییما است، بازمی‌گردد؛ در نتیجه مؤلفه‌های سرعت خطی و زاویه‌ای هواییما و مسیر پروازی مطلوب حفظ شده و فرصت کافی برای تصمیم‌گیری جهت فرود اضطراری در نخستین باند فرود،

Fig.30 Changes in roll angle

شکل 30 تغییرات زاویه غلتی

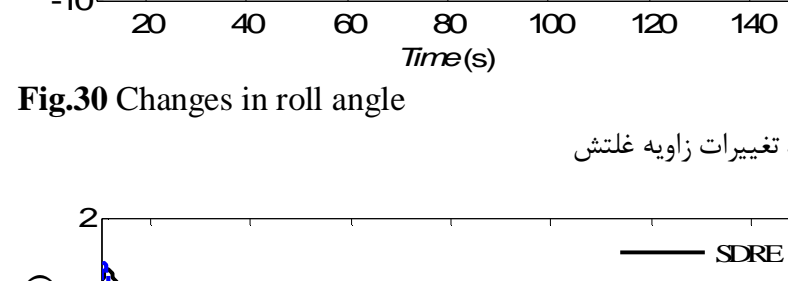
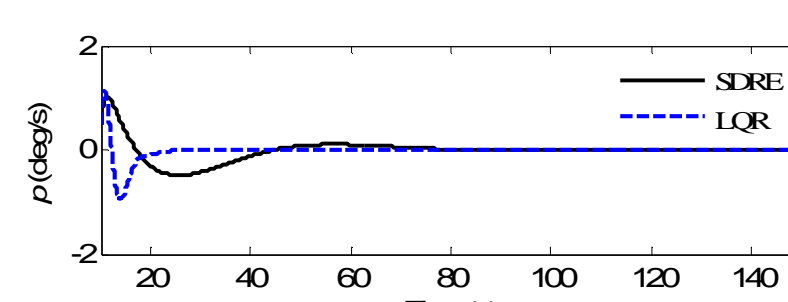


Fig.31 Changes in roll rate

شکل 31 تغییرات نرخ غلتی



فراهرم می‌آید.

جرم هوایی (Kg)	m
مؤلفه‌های گشتاور (Nm)	M_x, M_y, M_z
مؤلفه‌های سرعت زاویه‌ای هوایی (rads ⁻¹ یا degs ⁻¹)	p, q, r
فشار دینامیکی (Nm ⁻²)	\bar{q}
ماتریس‌های وزنی حالت و کنترل (ms ⁻¹)	Q, R
مؤلفه‌های سرعت خطی هوایی (ms ⁻¹)	u, v, w
سرعت متوسط هوایی (ms ⁻¹)	V_t
جابجایی هوایی نسبت به محور زمین ثابت (m)	x_e, y_e, z_e
زوایای حمله و سرش جانبی (deg یا rad)	علائم یونانی
زوایای اولر (deg یا rad)	α, β
انحراف الیرون، الیرون و رادر (deg یا rad)	ϕ, θ, ψ
انحراف الیرون بالهای راست و چپ (deg یا rad)	$\delta_e, \delta_a, \delta_r$
ضریب تراست (نسبت تراست واقعی به ماکزیمم)	$\delta_{aleft}, \delta_{aright}$
	δ_t

9- پیوست

استخراج ضرائب وابسته به حالت:

$$a_{11} = \frac{-1}{2m} \rho V_s s C_D \quad (43)$$

$$a_{12} = \frac{1}{2m} \rho V_s s C_L - \bar{q} \quad (44)$$

$$a_{13} = \frac{1}{4m} \rho w s c \bar{C}_{Lq} \quad (45)$$

$$a_{14} = -g \frac{\sin \theta}{\theta} \quad (46)$$

$$a_{18} = \frac{v}{2} \quad (47)$$

$$a_{110} = \frac{r}{2} \quad (48)$$

$$a_{21} = \bar{q} - \frac{1}{2m} \rho V_s s C_L \quad (49)$$

$$a_{22} = \frac{-1}{2m} \rho V_s s C_D \quad (50)$$

$$a_{23} = \frac{1}{4m} \rho u s c \bar{C}_{Lq} \quad (51)$$

$$a_{24} = -g \frac{\cos \theta - 1}{\theta} \cos \varphi \quad (52)$$

$$a_{27} = \frac{-v}{2} \quad (53)$$

$$a_{210} = \frac{-p}{2} \quad (54)$$

$$a_{38} = [2rI_{xz} - \frac{p}{2}(I_{xx} - I_{zz})] / I_{yy} \quad (55)$$

$$a_{43} = \cos \varphi \quad (56)$$

$$a_{48} = -\sin \varphi \quad (57)$$

7- جمع‌بندی و نتیجه‌گیری

هدف این تحقیق، ارائه و طراحی یک سیستم کنترل پرواز تحمل خطای غیرخطی به منظور کنترل هوایی مسافربری بوئینگ 747 آسیب‌دیده‌ای بود که با درجات مختلفی از آسیب‌دیدگی عملگر کنترلی مواجه است. در این مقاله نشان داده شد که در موقع بحرانی بروز آسیب‌های غیرمنتظره‌ای مانند کاهش کارایی و یا از مهار خارج شدن عملگرهای کنترلی حین پرواز، با انتخاب رویکرد کنترلی مناسب می‌توان با کاهش بار کاری و روانی خلبان و بهبود عملکرد هوایی در حداقل زمان ممکن، سناریوی آسیب را به خوبی مدیریت کرده و تأثیر این قبیل آسیب‌ها را در عملکرد پروازی تا حد زیادی کاهش داد.

نتایج شبیه‌سازی‌ها حاکی از عدم عملکرد رضایت‌بخش کنترل بهینه خطی در کنترل و بازیابی عملکرد مطلوب هوایی بود که ریشه در ماهیت خطی این تکنیک دارد. در مقابل، طرح پیشنهادی غیرخطی با بهره‌گیری از تکنیک معادله‌ی ریکاتی وابسته به حالت اثربخشی قابل توجهی در بهبود عملکرد هوایی آسیب‌دیده و بازیابی مسیر و پارامترهای پروازی مطلوب از خود نشان داد. بر خلاف روش خطی، عملکرد کنترل در محدوده دلخواه تنها به ماتریس‌های وزنی حالت و کنترلی وابسته نیست، بلکه به انتخاب نوع پارامترسازی وابسته به حالت ماتریس‌های $A(x)$ و $B(x)$ نیز بستگی دارد. در سیستم‌های چند متغیره نظریه هوایی، این ماتریس‌ها یکتا نبوده و همین امر سبب افزایش درجات آزادی طراحی و در نتیجه افزایش انعطاف‌پذیری می‌شود که بر عملکرد کنترلی تأثیر مثبتی دارد.

علاوه بر این، کنترل بهینه غیرخطی به رغم داشتن دامنه نوسانی بیشتر نسبت به کنترل خطی، علاوه بر حفظ ماهیت غیرخطی سیستم و شبیه‌سازی مدل نزدیک به رفتار واقعی هوایی، در مدت زمان کوتاهی قادر به پایدارسازی سیستم و بازگرداندن آن به حالت تعادل پیش از بروز آسیب است. سرعت عمل کنترل غیرخطی، نزدیکی به مدل واقعی هوایی غیرخطی، انعطاف‌پذیری و آزادی طراحی به واسطه‌ی ماهیت وابسته به حالت ماتریس‌های ضرایب و وزنی سیستم منجر به اثربخشی بیشتر آن نسبت به سایر روش‌های کنترلی گردیده که این ویژگی‌ها، تکنیک مذکور را تبدیل به روشی مؤثر و کارا در طراحی سیستم کنترل پرواز تحمل خطای کنترلی موده ای دارد. در تحقیقات آینده سعی بر آن است که تمرکز بیشتری بر روی مدل‌سازی و شبیه‌سازی سناریوهای آسیب پیچیده‌تر برای هوایی با سازه‌ی انعطاف‌پذیر صورت گیرد. دو راهکار برای رسیدن به چنین هدفی وجود دارد؛ در راهکار نخست، نیازمند دسترسی به اطلاعات واقعی تست پروازی برای ارزیابی روش کنترلی مورد نظر هستیم. در راهکار دوم با استفاده از استخراج تحلیلی معادلات پرواز تغییر یافته‌ی هوایی آریودینامیکی آسیب‌دیده، مدل دقیق‌تر و جزئی‌تر همراه با تغییرات بیشتری در مدل آریودینامیکی غیرخطی سیستم تحت کنترل می‌توان به دست آورد.

8- فهرست علائم

مؤلفه‌های برآیند نیروهای وارد بر هوایی (N)	F_x, F_y, F_z
مؤلفه‌های نیروی تراست (N)	F_{Tx}, F_{Ty}, F_{Tz}
شتاب جاذبه زمین (ms ⁻²)	g
ارتفاع هوایی (m)	h
ممان اینرسی (Kgm ²)	I_{xx}, I_{yy}, I_{zz}

$$a_{88} = \frac{qI_{xz} [I_{xx} - (I_{yy} - I_{zz})]}{I_{xz}^2 - I_{xx} I_{zz}} \quad (79)$$

$$a_{93} = \sin \varphi \tan \theta \quad (80)$$

$$a_{94} = \frac{q \sin \theta (\sin \varphi + r \cos \varphi)}{\theta \cos \theta} \quad (81)$$

$$a_{98} = \cos \varphi \tan \theta \quad (82)$$

$$a_{101} = \sin \theta \quad (83)$$

$$a_{102} = -\cos \varphi \cos \theta \quad (84)$$

$$a_{104} = \frac{u \sin \theta + (\cos \theta - 1)(v \sin \varphi + w \cos \varphi)}{\theta} \quad (85)$$

$$a_{109} = \frac{-v \cos \theta \sin \varphi + w \cos \theta (\cos \varphi - 1)}{\varphi} \quad (86)$$

$$a_{1010} = -\sin \varphi \cos \theta \quad (87)$$

$$b_{11} = \frac{T_{\max}}{m} \quad (88)$$

$$b_{12} = \frac{1}{2m} \rho V_t s (-u C_{D\delta e} + w C_{L\delta e}) \quad (89)$$

$$b_{22} = \frac{1}{2m} \rho V_t s (-w C_{D\delta e} - u C_{L\delta e}) \quad (90)$$

$$b_{73} = \frac{-1}{2} \frac{\rho V_t^2 sb}{I_{xz}^2 - I_{xx} I_{zz}} [I_{xz} (C_{l\delta a} \sin \alpha + C_{n\delta a} \cos \alpha)] \quad (91)$$

$$-\frac{1}{2} \frac{\rho V_t^2 sb}{I_{xz}^2 - I_{xx} I_{zz}} [I_{zz} (C_{l\delta a} \cos \alpha - C_{n\delta a} \sin \alpha)] \quad (92)$$

$$b_{74} = \frac{-1}{2} \frac{\rho V_t^2 sb}{I_{xz}^2 - I_{xx} I_{zz}} [I_{xz} (C_{l\delta a} \sin \alpha + C_{n\delta a} \cos \alpha)] \quad (93)$$

$$-\frac{1}{2} \frac{\rho V_t^2 sb}{I_{xz}^2 - I_{xx} I_{zz}} [I_{zz} (C_{l\delta a} \cos \alpha - C_{n\delta a} \sin \alpha)] \quad (94)$$

- مراجع - ۱۰**
- [1] Aviation Safety Department of Boeing Commerical Airplanes, *Statistical Summary of Commerical Jet Airplane Accidents Worldwide Operations 1959-2012*, Washington, pp. 1-15, 2013.
 - [2] The Stationary Office (TSO) of Civil Aviation Authority, *Global Fatal Accident Review 2002 to 2011*, London, pp. 1-19, 2013.
 - [3] M. K. Mogens Blanke, Jan Lunze, Marcel Staroswiecki, *Diagnosis and Fault-Tolerant Control*, Second Edition, pp. 1-13, Berlin Heidelberg: Springer-Verlag, 2006.
 - [4] R. Isermann, *Fault-Diagnosis Systems: An Introduction from Fault Detection to Fault Tolerance*, pp. 13-25, Berlin Heidelberg: Springer-Verlag, 2006.
 - [5] *Doomed Flight AF 447: Questions Raised about Airbus Automated Control System*, Accessed 16 July 2015,

$$a_{49} = -q \frac{\cos \varphi - 1}{\varphi} - r \frac{\sin \varphi}{\varphi} \quad (58)$$

$$a_{51} = \sin \theta \quad (59)$$

$$a_{52} = -\cos \varphi \cos \theta \quad (60)$$

$$a_{54} = \frac{u \sin \theta}{\theta} + [v \sin \varphi + w \cos \varphi] \frac{\cos \theta - 1}{\theta} \quad (61)$$

$$a_{59} = \cos \theta [-v \frac{\sin \varphi}{\varphi} + w \frac{\cos \theta - 1}{\theta}] \quad (62)$$

$$a_{510} = -\sin \varphi \cos \theta \quad (63)$$

$$a_{61} = \frac{1}{2m} \rho s \sin \beta [C_D \cos \alpha + C_L \sin \alpha] \quad (64)$$

$$a_{62} = \frac{1}{2m} \rho s \sin \beta [-C_L \cos \alpha + C_D \sin \alpha] \quad (65)$$

$$a_{63} = -\frac{1}{4m} \rho s \bar{C}_{Lq} \cos \alpha \sin \beta \quad (66)$$

$$a_{64} = -\frac{g}{V_t} \left[\frac{\sin \theta}{\theta} \sin \beta \cos \alpha + \sin \varphi \cos \beta \frac{\cos \theta - 1}{\theta} \right] \quad (67)$$

$$a_{66} = \frac{\sin \beta}{\beta} \left[\frac{1}{2m} \rho s V_t C_D \frac{\sin \beta}{\beta} + \frac{g}{V_t} \sin \theta \cos \alpha \right] \quad (68)$$

$$a_{67} = \sin \alpha \quad (69)$$

$$a_{68} = -\cos \alpha \quad (70)$$

$$a_{69} = \frac{g}{V_t} \cos \theta \cos \beta \frac{\sin \varphi}{\varphi} \quad (71)$$

$$a_{71} = \frac{\frac{1}{2} \rho V_t sb [-I_{xz} C_n - I_{zz} C_l]}{I_{xz}^2 - I_{xx} I_{zz}} \quad (72)$$

$$a_{72} = \frac{\frac{1}{2} \rho V_t sb [-I_{xz} C_l + I_{zz} C_n]}{I_{xz}^2 - I_{xx} I_{zz}} \quad (73)$$

$$a_{77} = \frac{q [-I_{xz} (I_{xx} - I_{yy}) - I_{zz} I_{xz}]}{I_{xz}^2 - I_{xx} I_{zz}} \quad (74)$$

$$a_{78} = \frac{q [I_{xz}^2 - I_{zz} (I_{yy} - I_{zz})]}{I_{xz}^2 - I_{xx} I_{zz}} \quad (75)$$

$$a_{81} = \frac{\frac{1}{2} \rho V_t sb [I_{xx} C_n + I_{xz} C_l]}{I_{xz}^2 - I_{xx} I_{zz}} \quad (76)$$

$$a_{82} = \frac{\frac{1}{2} \rho V_t sb [I_{xx} C_l - I_{xz} C_n]}{I_{xz}^2 - I_{xx} I_{zz}} \quad (77)$$

$$a_{87} = \frac{-q [I_{xx} (I_{xx} - I_{yy}) + I_{xz}^2]}{I_{xz}^2 - I_{xx} I_{zz}} \quad (78)$$

- [13] L. Zhong, *Contribution to Fault-Tolerant Flight Control Under Actuator Failures*, PhD Thesis, University of Toulouse, France, January 2014.
- [14] Y. Tang, *Fault Tolerant Control for Nonlinear Aircraft based on Feedback Linearization*, PhD Thesis, University of Hull, England, July 2013.
- [15] M. H. Sadraey, *Aircraft Design: A Systems Engineering Approach*, pp. 654-664, New York: Wiley, 2012.
- [16] C. Fielding, *The Design of Fly-by-wire Flight Control Systems*, BAE Systems, London, United Kingdom, pp. 5-9, 2001.
- [17] G. Cook, A. Wernli, Suboptimal Control for the Nonlinear Quadratic Regulator Problem, *Automatica*, Vol. 11, No.1, pp. 75-84, 1975.
- [18] J. R. Cloutier, C. N. D'Souza, and C.P. Mracek, Nonlinear Regulation and Nonlinear H_{∞} Control via the State-Dependent Riccati Equation Technique: Part1, Theory, in *Proceeding of The International Conference on Nonlinear Problems in Aviation and Aerospace*, Daytona Beach, pp. 226-246, 1996.
- [19] M. Vidyasagar, *Nonlinear Systems Analysis*, pp. 135-264, Prentice-Hall, Englewood Cliffs, NJ, 1978.
- [20] Mostafa. H. Ammar, *Controller Design for an Unmanned Reconnaissance Aerial Vehicle*, PhD Thesis, Stockholm University, 2006.
- [21] J. Roskam, *Airplane Flight Dynamics & Automatic Flight Controls*, Part I, Third Edition, pp. 543-545, Kansas: DAR Corporation, 2001.
- [22] <http://www.spiegel.de/international/world/doomed-flight-af-447-questions-raised-about-airbus-automated-control-system-a765764.html>.
- [6] J. J. Youmin Zhang, Bibliographical Review on Reconfigurable Fault-Tolerant Control Systems, *Elsevier Annual Reviews in Control*, Vol. 32, No.2, pp. 229-252, 1985.
- [7] R. A. Hess, S.R. Wells, and T. K. Vettelf, MIMO Sliding Mode Control as an Alternative to Reconfigurable Flight Control Designs, in *Proceeding of The American Control Conference Anchorage*, Anchorage, Alaska, USA, Vol. 5, No.5, pp. 3637-3643, 2002.
- [8] J. D.Boskovic, Li Sai- Ming, and R K. Mehra, Reconfigurable Flight Control Design Using Multiple Switching Controllers and On-line Estimation of Damage-Related Parameters, in *Proceeding of The 2000 IEEE International Conference on Control Applications Anchorage*, Alaska, USA, pp. 479-484, 2000.
- [9] S. Mack, Gang Tao, J.O. Burkholder, An Adaptive Detection Scheme for Aircraft Aerodynamic System Damage, in *2010 American Control Conference*, Marriott Waterfront, Baltimore, MD, USA, pp. 542-547, 2010.
- [10] *Boeing 747-100 Rollout Colors and Info*, Accessed 16 July 2015, <http://www.deviantart.com/art/Boeing-747-100-rollout-colors-and-info-294442746>.
- [11] Brian L. Stevens, Frank .L. Lewis, *Aircraft Control And Simulation*, pp. 121-128, New York: Wiley, 1992.
- [12] Jitendra R. Raol, Jatinder Singh, *Flight Mechanics Modeling and Analysis*, ed. 1, pp. 121-130, New York: CRC Press, 2008.